

“油气藏地质及开发工程”国家重点实验室系列专著

在文川网
入驻商家
dooriver文川网
古籍书城
获取更多电子书

地球原动力

刘全稳 赵金洲 陈景山 著



地质出版社

西南石油学院“油气藏地质及开发工程”国家重点实验室系列专著

地球原动力

地质出版社

· 北 京 ·

内 容 提 要

书中系统介绍了地球的强中纬力、潮汐力、胀缩力的数学演绎、物理定义、地球响应。这三种力广泛存在于自然界。其中强中纬力属于一种离心力，它是产生大气环流、大洋环流主要的原动力；潮汐力已不是传统意义上的由万有引力定律发展起来的“引潮力”，它是产生地球潮汐现象的真正原动力；胀缩力是产生地球周期性胀缩现象的原动力。

本书是地球科学工作者的一本全新的理论书籍。

图书在版编目 (CIP) 数据

地球原动力/刘全稳, 赵金洲, 陈景山著. -北京: 地质出版社, 2001. 10
ISBN 7-116-03453-6

I. 地... II. ①刘... ②赵... ③陈... III. 地球动力学 IV. P541

中国版本图书馆 CIP 数据核字 (2001) 第 065969 号

责任编辑: 江晓庆 渠洁瑜

责任校对: 李 玫

出版发行: 地质出版社

社址邮编: 北京海淀区学院路 29 号, 100083

电 话: 010-82324508 (邮购部)

网 址: <http://www.gph.com.cn>

电子邮箱: zbs@gph.com.cn

传 真: 010-82310759

印 刷: 北京印刷学院实习工厂

开 本: 787×1092¹/₁₆

印 张: 9.5

字 数: 231000

印 数: 1-700 册

版 次: 2001 年 10 月北京第一版·第一次印刷

定 价: 30.00 元

ISBN 7-116-03453-6/P·2205

(凡购买地质出版社的图书, 如有缺页、倒页、脱页者, 本社发行处负责调换)

docsriver 文川网
入驻商家 古籍书城

在文川网搜索古籍书城 获取更多电子书

序 (一)

我欣喜地阅读了由刘全稳、赵金洲、陈景山等人写成的《地球原动力》一书。他们将数学、物理,特别是球面质点力学的分析方法用于研究地球固体壳层、水层、大气层分别承受地球在其伴随太阳绕银心运动的过程中,遭受多种天体动力因子的作用,以及地球自身整体性的动力作用所表现出的运动行为。研究是从单一动力因子的界定及其作用于三个壳层的理论解析入手的,进而对地壳、水层和大气的真实运动表现加以解释并用于工程实践。

看来这是一本偏重于天文地球动力中单一动力因子理论分析的力作,比起以往在国内常泛泛提到的用种种天文动力因子来解释一些地质现象及水、气运动现象,在动力因子本身的理论研究方面,更为严格与清晰。相信它将更有效地推动数理科学与地球科学的交叉合作,激发探索地球整体运动行为理论奥秘的热情。尽管本书主要是单一动力因子的分析,尚未进行多因子的以及与地球内动力的复合作用分析,希望那将是本书所开辟的这一研究途径美丽的前景。



2001年6月19日

序(二)

地球动力学是现今地学领域的热门课题之一,属于基础理论研究范畴,每个国家都要拨款进行这方面的研究,其研究成果对指导大气、海洋、油气、地质等领域的生产科研具有重要指导意义。

本书以地球的球面质点作为各具体目标的抽象,以地球的实际运动状态建立轨道分析体系,经过数学推导和物理特性分析,获得了导致球面质点运动的原动力:胀缩力、强中纬力、潮汐力等。这三种力是目前尚未被发现的作用力,为本书原创,其理论意义和实际意义不容忽视,具有深厚的学术价值。

强中纬力可用来解释海水、大气运动、沙尘的起因等,也可用来解释地下流体的运动方向,在油气勘探与开发部门、水资源部门具有广泛的应用前景。

潮汐力研究成果可应用于海水与大气运动的预测预报、地震预报,对油气的开采、地下水的利用等,有一定的指导作用。

胀缩力可应用于构造地质领域,对地质构造运动周期、山脉及裂谷成因分析、断裂及构造体系的分析都具有理论意义。

总之,这是一本内容丰富、资料翔实、立论有据的专著。具有立意新、思维新的特点,富有开拓性和启迪性。因此,本专著的出版,对今后有关地球动力与运动的研究具有重要的参考价值。特此推荐。

刘宝瑞
2001年6月17日

前 言

地球是太阳系的九大行星之一,随着太阳一起在银河系中绕银核运行。

无论是地球绕太阳公转的轨道,还是太阳系绕银核运转的轨道,都是椭圆形。

地球是由具有不同物理、化学性质的物质构成的,形成一个同心圈层的球体。由表及里,地球的各圈层分别是:大气圈、水圈、生物圈、地壳、地幔、地核。

地球科学是人类对于自己赖以生存的地球的认识的总称。地球的整体和它的每一个圈层是地球科学研究的对象,其各部分物质的运动、变化规律及其相互之间的联系,是地球科学研究的内容。

迄今为止,人们关于地球的认识成果浩如烟海,逐步形成了以地理学和土壤学、遥感科学、地质科学、地球化学、地球物理学、空间物理学、大气科学、海洋科学等为门类的各分支的地球科学。

关于地球动力方面的研究学科十分繁多,从大到小可分为:天体动力学、地球动力学、大气动力学、动力气候学、海洋动力学、动力地质学、地下水动力学等。

随着社会的进步,人类攻克课题的难度越来越大,人与人之间的联系越来越紧密,尤其是在地学方面,单兵作战形成突破的例子已十分罕见。

《地球原动力》一书,是第一作者在西南石油学院博士后流动站工作期间,与第二、第三作者并肩完成的成果,是集体智慧的结晶。

本书的理论基础是牛顿力学,获得的新成果、新认识、新理论体现在如下几方面。

- (1)建立起独特的球面质点受力分析体系,为完成地球原动力的研究打下了认识基础;
- (2)运用演绎推理规则,推导出地球发生周期性胀缩变化的作用力——地球的胀缩力;
- (3)首创了“强中纬力”概念;第一次提出并论证了地球的强中纬力,包括它的表达式、符号意义、性质特点、分布地域、适用范围、在地球上的效应等;
- (4)找到了太阳致潮的潮汐力的完整理论表达式;研究了它的离散特征、连续性特征,以及它的振幅表达方法;比较了它与人们已经熟知的由万有引力出发获得的月球引潮力的不同;
- (5)依据地球的各个原动力,将地球按所受主要作用力的不同进行了受力分带,并比较了受力分带与地理分带的主要异同及重叠区的存在。

本书的编写思路:分析体系的建立;作用力各论;应用解释。共分七章阐述。

第一章是分析体系的建立。将球面质点作为分析目标,以地球球面质点在公转、自转过程中,随公转角度与时间的变化关系,求取球面质点的数学物理方程。根据作用力方程所表现出的初步特性,对作用力作出定义,为以后的分析打下基础。

第二章为地球的强中纬力。根据强中纬力表现出的与黄纬角度的独特关系,将地球进行受力分带,所分五带已不是传统意义上的地理五带。将强中纬力的一般特点及在地球运动过程中的表现特征、作用效果进行了详细的理论分析,为以后的应用解释铺平道路。

第三章为地球的潮汐力。由于潮汐是一个古老的命题,关于潮汐的驱动力解释,先前已有牛顿由万有引力衍生出的“引潮力”理论统治,所以,本章中首先作了“引潮力”与“潮汐力”的比较说明。此外,还详细分析了由第一章推导获得的潮汐力的理论特征及在地球上的表现特征,初步介绍了地球上发生潮汐的集中基本情况,为以后的潮汐力的应用服务。

第四章为地球的胀缩力。将分析目标定为地球,以地球作为分析质点,推导了地球在椭圆轨道运动中的受力变化情况。根据动力方程表现出的数理特征,将作用力定义成地球的胀缩力。论述了地球发生膨胀与收缩运动时的参数算法及其各阶段的划分,讨论了地球在胀缩力作用下的正演算法。

第五章描写了地球的强中纬力响应。以大气在强中纬力作用下的表现,海水在强中纬力作用下的表现以及强中纬力的地质作用作为描述的主体,较详细地对地球的强中纬力作用进行了应用解释。

第六章描写的是潮汐。从地球的潮汐运动是一种波动开始,描述了潮汐波的干涉、衍射。根据这些分析,解释了地球上不同类型潮汐波出现的原因,讨论了地幔潮汐的问题和井潮问题。

第七章描述地球胀缩力的表现。叙述了地球体现出的膨胀现象和收缩现象,讨论了地球发生胀缩运动中的胀缩力映射问题,对洋中脊、磁异常、海沟等人们熟知的地质现象的形成环境及其应用作了归纳。

本书写作分工如下:前言及第一、二章,赵金洲;第三、四、五、六章,刘全稳;第七章,陈景山。

本书能得以顺利地出版发行,首先应该感谢中国工程院院士罗平亚教授的鼎力支持。感谢西南石油学院博士后流动站提供了舒适的生活条件,“油气藏地质及开发工程”国家重点实验室提供了非常宽松的工作与科研环境。感谢蒲万芬副教授提供了必要的计算机及其辅助设备。

目 录

第一章 动力分析体系	(1)
第一节 平面质点受力运动	(1)
第二节 空间质点受力情况	(4)
第三节 作用力的物理特性	(5)
一、关于作用力 F_1	(5)
二、关于作用力 F_2	(6)
三、关于作用力 F_1 与 F_2 的比较及其合力分析	(6)
四、关于作用力 F_3	(6)
五、关于作用力 F_4	(7)
六、关于作用力 F_5	(7)
七、关于 F_3 与 F_5 的比较	(7)
第四节 作用力定义	(7)
一、强中纬力	(8)
二、潮汐力	(9)
三、其他作用力	(11)
第五节 球面质点受力分布	(12)
参考文献	(12)
第二章 地球的强中纬力	(13)
第一节 地球的受力作用分带	(13)
一、两极极地带	(13)
二、南、北半球最大强中纬力作用带	(14)
三、穿切黄道面带	(15)
第二节 强中纬力的一般特点	(15)
一、强中纬力的影响因素	(16)
二、强中纬力的物理意义	(16)
第三节 强中纬力的表现特征	(17)
一、俯视特征	(17)
二、侧视特征	(17)
三、整体特征	(17)
第四节 强中纬力的作用效果	(18)
一、作用于大气	(18)
二、作用于海水	(21)
三、作用于球面板块	(21)
第五节 强中纬力的应用前景	(21)
一、全球受力分带	(21)

二、地下油气运移研究	(21)
三、地震构造分区研究	(21)
四、油气聚集区带分析	(21)
五、地球球面板块运移分析	(22)
六、其他	(22)
小结	(23)
参考文献	(23)
第三章 地球的潮汐力	(25)
第一节 潮汐概况	(25)
一、月球、地球、太阳的相互关系	(25)
二、万有引力	(28)
三、月球引潮力	(29)
第二节 潮汐力的理论特征	(30)
一、离散特征	(30)
二、连续性特征	(34)
第三节 海潮的描述	(39)
第四节 潮汐力在地球上的表现	(40)
一、海水潮汐	(40)
二、大气潮汐	(40)
三、地幔潮汐	(42)
四、地下水潮汐	(42)
第五节 潮汐能量的速度与地球的胀缩问题	(42)
参考文献	(44)
第四章 地球的胀缩力	(45)
第一节 椭圆的运动学特征	(45)
第二节 地球受力分析	(47)
第三节 地球的膨胀与收缩运动	(48)
第四节 地球膨胀运动的参数——算法与膨胀阶段划分	(50)
一、膨胀参数的求取	(50)
二、地球的膨胀阶段划分	(53)
三、关于地球的膨胀造山问题	(56)
第五节 地球收缩运动的参数——算法与阶段划分	(56)
一、收缩参数的求取	(57)
二、地球的收缩模式	(58)
三、关于地球收缩过程中地方性裂谷的形成	(63)
四、关于地球收缩过程中的地方性海侵	(64)
五、小结	(64)
第六节 地球胀缩的正演算法	(64)
一、作用力下的球体应力应变	(64)
二、正演地球的膨胀和收缩	(65)
参考文献	(67)

第五章 强中纬力的地球响应	(68)
第一节 大气的强中纬力作用	(68)
一、大气的运动模式	(68)
二、台风进入强中纬力作用带后的路径	(70)
三、平流层中的气球轨迹	(71)
四、风携物分布线规律	(73)
五、极地带内大气强中纬力作用分析	(74)
第二节 海水的强中纬力作用	(78)
一、大洋环流	(78)
二、西风漂流	(81)
三、暖流	(83)
第三节 强中纬力的地质作用	(85)
一、对板块的作用	(85)
二、对山脉走向的控制	(87)
三、对火山分布格局的约束	(87)
四、对地震震中的影响	(87)
五、对风沙分选沉积的作用	(92)
六、一个板块的理论运动轨迹	(95)
小结	(99)
参考文献	(99)
第六章 潮汐	(101)
第一节 潮汐运动	(101)
第二节 潮汐的干涉	(102)
第三节 潮汐的衍射	(103)
一、障碍物衍射	(103)
二、单孔衍射	(104)
三、双孔衍射	(105)
四、不同波长的潮汐波叠加	(106)
第四节 潮汐的分类	(106)
一、规则潮汐	(106)
二、不规则潮汐	(106)
三、中国近海及邻近海域的潮汐性质	(107)
第五节 地幔潮汐与岩浆侵入、火山喷发	(109)
第六节 井潮	(113)
一、地下水潮汐	(113)
二、油气潮汐	(115)
参考文献	(118)
第七章 胀缩力的表现	(119)
第一节 地球的膨胀运动	(119)
一、全球性的海水泛滥	(120)
二、全球性的洋中脊扩张	(121)

三、地区性裂谷和地堑	(121)
第二节 地球的收缩运动	(123)
一、全球性的海退	(123)
二、全球性的造山运动	(123)
三、地区性的洋壳消失	(123)
四、地区性的推覆运动	(127)
五、地区性的逆断裂超覆和地层褶皱	(127)
第三节 地球的胀缩运动	(127)
一、地壳受膨胀力作用及运动	(128)
二、地壳受收缩力作用及运动	(128)
三、地球胀缩力曲线与由胀缩力引出的其他曲线的比较	(129)
第四节 洋中脊、磁异常与海沟	(130)
一、洋中脊	(130)
二、磁异常	(134)
三、海沟	(135)
参考文献	(140)
后记	(141)

第一章 动力分析体系

长期以来,探索地球动力以及大气、海洋、板块等运动成因及其相互影响,一直是人们争相研究的主题内容之一,其相关学术论著不断问世。基于可见、可感触的特点,对其所使用的研究方法几乎遍布各学科领域。

事实上,油气运移在很多方面与大气、海水的运动具有相同的特性,所不同的是前者位于地下,不可见且不可感触。因此,在长期的生产实践和理论探索中,人们发现,在研究油气运移的某些方面可以直接引用已有的大气海洋运动的研究成果。当然,研究油气运移的成果也完全可以用大气、海洋这些可见的事实加以验证,因而也可以直接作为大气海洋研究成果或与之并题研究。

地球的固有特性包括:它的组成是分层的;它既有自转运动,也有公转运动。

无论是大气、海洋,还是油气、地球板块,其共同之处在于:它们均属于地球,受地球的束缚;与地球一起作自转运动;与地球一起永恒地绕太阳公转。基于这些共同点,将它们抽象为一个质点,该质点可以是大气、海水,也可以是油气质点,也可以是板块质点。这样的质点无论位于哪个圈层,其所属的分析面都是球面,因而可以称为球面质点。分析球面质点随地球在转动状态下的受力情况,可能不失为一条探索它们运动成因的途径。

在很多的文献资料中,只要谈到太阳与地球或者其他行星,人们总是将行星弱化为质点,这是由于两者大小、质量相差悬殊使然。这种简化,有时有存在的合理性,因为已有很多成功的关于自然现象的合理解释的例子。将质点定在地球上的大气或海洋或油气或板块上探讨问题,地球显然已不能再定成质点。笔者分析问题的前提条件是:球面质点在随地球绕太阳公转时,不仅与太阳质心的距离要发生改变,而且与地球质心的距离也要发生改变。

第一节 平面质点受力运动

在图 1-1 中,假如质点 P 位于地球公转椭圆轨道的平面内,那么在该体系中,设 $\angle OSP = \theta$, $SP = L$, $OS = l$, 则 $OP = R$,

$$L = f(\theta, t)$$

$$l = g(\theta, t)$$

$$R = h(\theta, t)$$

首先考察同一平面内,地球球面质点的受力情况。此时,根据余弦定理,在 $\triangle OSP$ 内,有隐函数关系式

$$R^2 = L^2 + l^2 - 2Ll \cos \theta$$

令 $R = \sqrt{u}$, $u = L^2 + l^2 - 2Ll \cos \theta$

则
$$\frac{dR}{d\theta} = \frac{1}{2\sqrt{u}} \left\{ 2l \frac{dl}{d\theta} + 2L \frac{dL}{d\theta} - \left[2 \frac{dL}{d\theta} l \cos \theta + 2l \frac{dL}{d\theta} \cos \theta + 2lL \sin \theta \right] \right\}$$

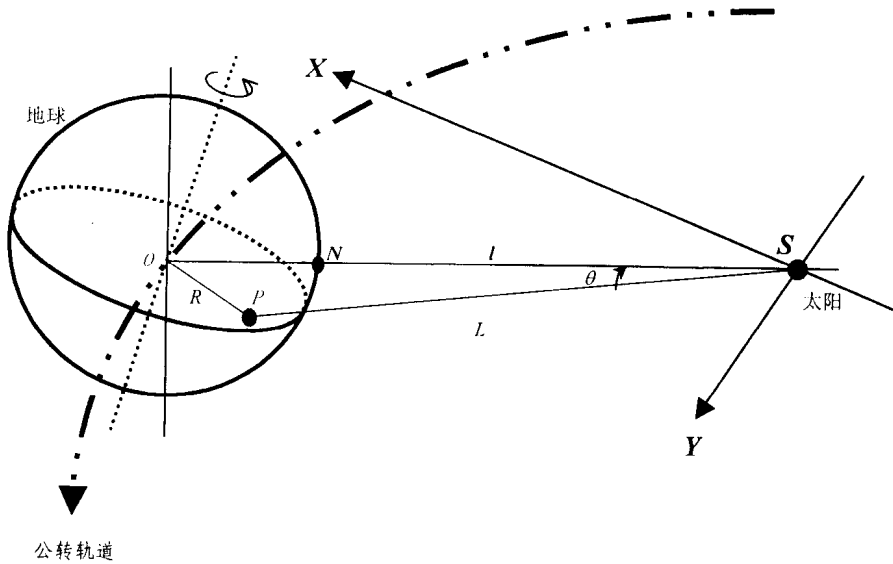


图 1-1 球面质点的平面受力分析

$$\frac{dR}{dt} \times \frac{dt}{d\theta} = \frac{1}{\sqrt{u}} \frac{dt}{d\theta} \left[\dot{l} + L\dot{L} - \dot{l}L\cos\theta - l\cos\theta\dot{L} + lL \frac{d\theta}{dt} \sin\theta \right]$$

$$\frac{dR}{dt} = \frac{1}{\sqrt{u}} \left(\dot{l} + L\dot{L} - \dot{l}L\cos\theta - l\cos\theta\dot{L} + lL \frac{d\theta}{dt} \sin\theta \right)$$

令 $A = \dot{l} + L\dot{L} - \dot{l}L\cos\theta - l\dot{L}\cos\theta + lL \frac{d\theta}{dt} \sin\theta$ (1-1)

同理，可以进行如下推导

$$\frac{d\left(\frac{dR}{dt}\right)}{d\theta} = -\frac{1}{2} u^{-\frac{3}{2}} \frac{du}{d\theta} A + u^{-\frac{1}{2}} \frac{dA}{d\theta}$$
 (1-2)

$$\frac{du}{d\theta} = \frac{2}{d\theta} A$$
 (1-3)

$$\frac{d\left(\frac{dy}{dt}\right)}{d\theta} = -\frac{dt}{d\theta} u^{-\frac{3}{2}} A^2 + u^{-\frac{1}{2}} \frac{dA}{d\theta}$$

由 $A = \dot{l} + L\dot{L} - \dot{l}L\cos\theta - l\dot{L}\cos\theta + lL \frac{d\theta}{dt} \sin\theta$

得 $A = (l - L\cos\theta)\dot{l} + (L - l\cos\theta)\dot{L} + lL \frac{d\theta}{dt} \sin\theta$

$$\frac{dA}{d\theta} = (l - L\cos\theta) \frac{d\dot{l}}{d\theta} + \left(\frac{dl}{d\theta} - \frac{dL}{d\theta} \cos\theta + L \sin\theta \right) \dot{l} + (L - l\cos\theta) \frac{d\dot{L}}{d\theta} + \left(\frac{dL}{d\theta} - \frac{dl}{d\theta} \cos\theta + l \sin\theta \right) \dot{L} + \frac{dl}{d\theta} L \frac{d\theta}{dt} \sin\theta + l \frac{dL}{d\theta} \frac{d\theta}{dt} \sin\theta + lL \frac{d\theta}{dt} \cos\theta$$

化成时间函数

$$\begin{aligned}
\frac{dA}{dt} &= (l - L\cos\theta)\dot{l} + \dot{l}\left(\dot{l} - \dot{L}\cos\theta + L\frac{d\theta}{dt}\sin\theta\right) + (L - l\cos\theta)\dot{L} + \\
&\quad \dot{L}\left(\dot{L} - \dot{l}\cos\theta + l\frac{d\theta}{dt}\sin\theta\right) + \dot{l}L\frac{d\theta}{dt}\sin\theta + \dot{L}l\frac{d\theta}{dt}\sin\theta + lL\left(\frac{d\theta}{dt}\right)^2\cos\theta \\
&= (l - L\cos\theta)\dot{l} + (L - l\cos\theta)\dot{L} + \dot{l}^2 + \dot{L}^2 - 2\dot{L}\dot{l}\cos\theta + \\
&\quad 2L\dot{l}\frac{d\theta}{dt}\sin\theta + 2l\dot{L}\frac{d\theta}{dt}\sin\theta + lL\left(\frac{d\theta}{dt}\right)^2\cos\theta
\end{aligned} \tag{1-4}$$

$$A^2 = \left[(l - L\cos\theta)\dot{l} + (L - l\cos\theta)\dot{L} + lL\frac{d\theta}{dt}\sin\theta \right]^2 \tag{1-5}$$

所以

$$\begin{aligned}
\frac{d\left(\frac{dR}{dt}\right)}{d\theta} &= \frac{1}{\sqrt{u}}\left(\frac{dA}{d\theta} - \frac{1}{u}\frac{1}{d\theta}A^2\right) \\
\frac{d^2R}{dt^2} &= \frac{1}{\sqrt{u}}\left(\frac{dA}{dt} - \frac{1}{u}A^2\right)
\end{aligned} \tag{1-6}$$

将 $\frac{dA}{dt}$, A^2 , u 值代入 (1-6) 式, 即可获得球面质点在随太阳公转时, 在地球径向上的变化加速度 $\frac{d^2R}{dt^2}$ 。

可以验证 (量纲检验), $\frac{d^2R}{dt^2}$, $\frac{1}{\sqrt{u}}\frac{dA}{dt}$, $\frac{1}{\sqrt{u}}\frac{1}{u}A^2$ 各项及其展开项, 均是含加速度因子的数据项。所以, 在上式两边同时乘以质点质量 m , 有

$$m\sqrt{u}\frac{d^2R}{dt^2} = m\frac{dA}{dt} - m\frac{1}{u}A^2$$

$$\text{令 } F_o = m\frac{d^2R}{dt^2}, F_r = m\frac{1}{\sqrt{u}}\frac{dA}{dt}, F_s = -m\frac{1}{\sqrt{u^3}}A^2$$

则

$$F_o = F_r + F_s \tag{1-7}$$

显然, 除 F_o 外, F_r 和 F_s 各自均为一个由复杂的受力系统组成的综合力。可表示为

$$F_r = \sum_{i=1}^m F_i \tag{1-8}$$

现在, 有必要先讨论两个问题。

首先是 θ 的问题。即使以地球磁层的最顶层计算, θ 的最大值也只约有 0.00244° , 是相当小的。为使运算简便, 凡含 $\sin\theta$ 项, 均可以消去。

其次是速度矢量问题。 \dot{L} 、 \dot{l} 分别包括法向和切向两个方向的数值变化, 一般由于法向变化量小, 只考虑切向的数值变化, 即 $\dot{L} = L_\omega$, $\dot{l} = l_\omega$ (ω 为地球绕太阳公转的角速度)。

在消去含 $\sin\theta$ 项后, 将 $\dot{L} = L_\omega$, $\dot{l} = l_\omega$ 代入 (1-4) 式, 化简得

$$\frac{dA}{dt} = (l - L\cos\theta)\dot{l} + (L - l\cos\theta)\dot{L} + R^2\omega^2 + lL\cos\theta\left(\frac{d\theta}{dt}\right)^2 \tag{1-9}$$

则

$$F_r = m \frac{1}{\sqrt{u}}(l - L \cos \theta) \dot{l} + m \frac{1}{\sqrt{u}}(L - l \cos \theta) \dot{L} + m \frac{1}{\sqrt{u}} R^2 \omega^2 + m \frac{1}{\sqrt{u}} l L \cos \theta \left(\frac{d\theta}{dt} \right)^2 \quad (1-10)$$

那么, (1-8)式变为

$$F_r = \sum_{i=1}^4 F_i \quad (1-11)$$

将 $\dot{L} = L_\omega, \dot{l} = l_\omega$ 代入(1-5)式, 化简得

$$A^2 = (R^2 \omega)^2 \quad (1-12)$$

因而

$$F_s = -m \frac{1}{\sqrt{u^3}} (R^2 \omega)^2 \quad (1-13)$$

第二节 空间质点受力情况

事实上, 质点 P 在绝大多数情况下, 并非位于轨道平面内, 即矢量 \mathbf{R} 、 \mathbf{L} 与 \mathbf{l} 不在黄道面内, 参见图 1-2。做质点 P 在轨道平面内的投影 P' , 连相关辅助线, 有: $\angle POP' (= \alpha)$ 与地球纬度 φ 有关; $\angle P'ON (= \beta)$ 为质点 P 所处经度与正午所在经度之差; $\angle PSP' (= \gamma)$, 由于地球与太阳距离太大而趋于零, 所以取 $\gamma = 0$; $\angle P'SN (= \theta)$, 当取 $OP' = R'$, $SP' = L'$ 时

$$R' = R \cos \alpha \quad (1-14)$$

$$L' = L \cos \gamma \quad (1-15)$$

$$L' = L \quad (1-16)$$

不难得出

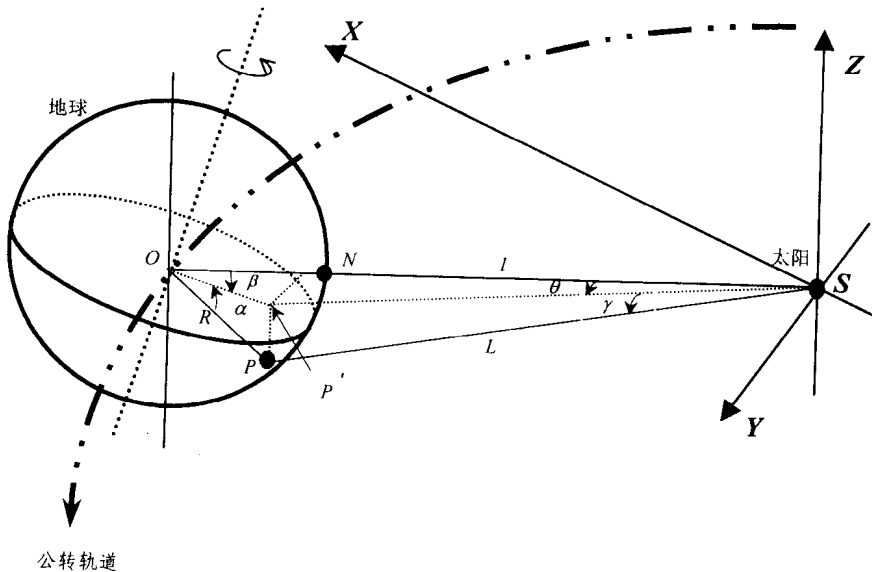


图 1-2 球面质点的空间受力分析

$$| R \cos \alpha \cos \beta | = | l - L \cos \gamma \cos \theta | = | l - L \cos \theta | \quad (1-17)$$

$$| R \cos \alpha \sin \beta | = | L \cos \gamma \sin \theta | = | L \sin \theta | \quad (1-18)$$

亦即其标量式为

$$R \cos \alpha \cos \beta = l - L \cos \theta \quad (1-19)$$

$$R \cos \alpha \sin \beta = L \sin \theta \quad (1-20)$$

那么,在空间讨论质点 P 的变化可转化为在平面内讨论质点 P' 的变化。用 R' 、 L' 替代 (1-10)、(1-13) 中的 R 、 L 得

$$F_r = m \frac{1}{\sqrt{u}} (l - L \cos \theta) \ddot{l} + m \frac{1}{\sqrt{u}} (L - l \cos \theta) \ddot{L} + m \frac{1}{\sqrt{u}} R^2 \cos^2 \alpha \omega^2 + m \frac{1}{\sqrt{u}} l L \cos \theta \left(\frac{d\theta}{dt} \right)^2 \quad (1-21)$$

$$F_s = - m \frac{1}{\sqrt{u^3}} (\cos^2 \alpha R^2 \omega)^2 \quad (1-22)$$

第三节 作用力的物理特性

本节只作理论分析,有关各力的实际论证,在后面的章节中还将详细研究。

根据 (1-11) 和 (1-21) 式,令

$$F_1 = m \frac{1}{\sqrt{u}} (l - L \cos \theta) \ddot{l} \quad (1-23)$$

$$F_2 = m \frac{1}{\sqrt{u}} (L - l \cos \theta) \ddot{L} \quad (1-24)$$

$$F_3 = m \frac{1}{\sqrt{u}} R^2 \cos^2 \alpha \omega^2 \quad (1-25)$$

$$F_4 = m \frac{1}{\sqrt{u}} l L \left(\frac{d\theta}{dt} \right)^2 \cos \theta \quad (1-26)$$

一、关于作用力 F_1

根据 (1-19) 式化简,再经三角变换,有

$$\begin{aligned} F_1 &= m \cos \alpha \cos \beta \ddot{l} \\ &= \frac{1}{2} m [\cos(\alpha + \beta) + \cos(\alpha - \beta)] \ddot{l} \end{aligned} \quad (1-27)$$

显然,由 (1-27) 式可获知作用力 F_1 是由两个分力组成的,即

$$F_{11} = \frac{1}{2} m \cos(\alpha + \beta) \ddot{l} \quad (1-28)$$

$$F_{12} = \frac{1}{2} m \cos(\alpha - \beta) \ddot{l} \quad (1-29)$$

$$F_1 = F_{11} + F_{12} \quad (1-30)$$

1. F_1 的大小

—— α 一定时, F_1 的大小随 β 产生余弦周期性变化, $\alpha = 0^\circ$ 为最大。说明黄道面上 F_1 最大。

docsriver 文川网
入驻商家 古籍书城

在文川网搜索古籍书城 获取更多电子书

—— β 一定时, F_1 的大小随 α 产生余弦周期性变化, $\beta = 0^\circ, 180^\circ$, F_1 绝对值为最大。说明正午和午夜 F_1 绝对值最大。

2. F_1 的方向

地球到太阳连线的径向。 F_1 正值时为太阳到地球的方向, F_1 负值时则为地球到太阳的方向。

二、关于作用力 F_2

将 $u = L^2 + l^2 - 2Ll\cos\theta$ 代入 (1-24) 式, 考虑 (1-19) 式条件, 由于 $L \approx l$, 取 $L = l$, 经化简有

$$F_2 \approx m \cos\alpha \cos\beta \ddot{L} \quad (1-31)$$

比较式 (1-27) 和式 (1-31), 不难发现, 除加速度外, 两式右端的其他函数符号一致, 因此, F_1 与 F_2 应属于同一种力。

三、关于作用力 F_1 与 F_2 的比较及其合力分析

F_1 与 F_2 为一对近径向的作用力, F_1 与 F_2 交角为 ϕ (见图 1-3)。

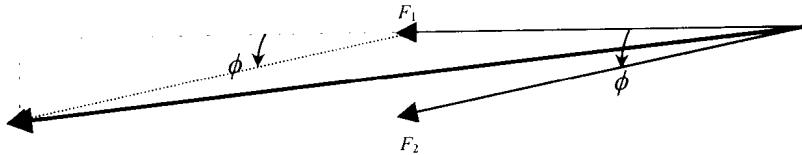


图 1-3 F_1 与 F_2 的合力

经过变换可得

$$F_1 + F_2 \approx m \cos\alpha \cos\beta \sqrt{2 + 2\cos\phi} \ddot{l} \quad (1-32)$$

$\phi \approx 0^\circ$, 在取 $\phi = 0^\circ$ 的情况下

$$F_1 + F_2 \approx 2m \cos\alpha \cos\beta \ddot{l} \quad (1-33)$$

合力方向在极径的 η 角度方向, η 角度由下式计算

$$\eta = \operatorname{arctg} \frac{\sin\phi}{1 + \cos\phi} \quad (1-34)$$

因 $\eta \approx 0$, 所以合力方向在近乎极径连线上变化。

四、关于作用力 F_3

将 $u = L^2 + l^2 - 2Ll\cos\theta = R^2$ 代入 (1-25) 式, 取 $L = l$, 经化简有

$$F_3 = mR\omega^2 \cos^2\alpha \quad (1-35)$$

显然, F_3 与 F_1 和 F_2 的受控因素具有差异性。

1. F_3 的大小

—— $\alpha = \frac{\pi}{2}$, $F_3 = 0$: 说明南、北纬 $66^\circ 33'$ 纬度带在处于黄极点时, 无 F_3 作用。

—— $\alpha = 0^\circ$ 时, $F_3 = mR\omega^2$, 黄道面切割地球交线处 F_3 最大。

—— α 越大, F_3 越小; 反之, α 越小, F_3 越大。

2. F_3 导致的物体运动方向

该方向为切线方向。

3. F_3 与 F_1 和 F_2 的区别

——与 α 的关系：三力均与 α 有关。

——与 β 的关系： F_1 和 F_2 与 β 有关，而 F_3 与 β 无关。

五、关于作用力 F_4

将 $u = L^2 + l^2 - 2Ll\cos\theta$ 代入 (1-26) 式，取 $L = l$ ，经化简有

$$F_4 = \frac{mLl}{R}\cos\theta\left(\frac{d\theta}{dt}\right)^2 \quad (1-36)$$

1. F_4 的大小

—— F_4 与 α 无关。

—— F_4 与 β 无关。

—— F_4 只与 θ 有关。

2. F_4 的方向

该方向指向地球自转轴。

六、关于作用力 F_s

将 $u = L^2 + l^2 - 2Ll\cos\theta$ 代入 (1-22) 式，取 $L = l$ ，经化简有

$$F_s = -mR\omega^2\cos^4\alpha \quad (1-37)$$

显然， F_s 是一个与球面质点所处纬度有关的切向力。

——当 $\alpha = 0^\circ$ 时

$$F_s = -mR\omega^2$$

——当 $\alpha = 90^\circ$ 时

$$F_s = 0$$

七、关于 F_3 与 F_s 的比较

—— F_3 与 F_s 均与纬向体系有关。

—— F_3 ， F_s 虽然都很小，但持续作用效果不容忽视。在一定条件下，可合二为一所以

$$\begin{aligned} F_3 + F_s &\approx mR\omega^2\cos^2\alpha(1 - \cos^2\alpha) \\ &= \frac{1}{4}mR\omega^2\sin^2 2\alpha \end{aligned} \quad (1-38)$$

性质： F_3 ， F_s 是一个作用力。

特点：在 $\alpha = 45^\circ$ 时作用力 $F_3 + F_s$ 最大，考虑地球自转特性，则分别在南北半球纬度 $21^\circ 33' \sim 68^\circ 27'$ 带，这种作用力为最大。

第四节 作用力定义

以上根据地球球面质点的特征，建立起作用力分析体系，推导出了球面质点在运动过程中存在的作用力关系式

$$F_o = F_1 + F_2 + F_3 + F_4 + F_s$$

其中

$$F_1 = m\cos\alpha\cos\beta\ddot{l}$$

$$F_2 = m\cos\alpha\cos\beta\ddot{L}$$

$$F_3 = mR\omega^2 \cos^2 \alpha$$

$$F_4 = \frac{mLl}{R} \cos \theta \left(\frac{d\theta}{dt} \right)^2$$

$$F_s = -mR\omega^2 \cos^4 \alpha$$

式中各符号含义见初始条件说明。

在分别进行详细论述各作用力前，有必要先根据各作用力表现出的初步物理特性作出相应定义。

一、强中纬力

式(1-38)是一个以地球黄纬为主要影响因子的作用力，这是因为令 $F_z = F_3 + F_s$,

则
$$F_z = \frac{1}{4} mR\omega^2 \sin^2 2\alpha \quad (1-39)$$

式中 F_z ——强中纬力 (N);

m ——物体质量 (kg);

ω ——地球公转角速度 (1/s);

α ——物体所在黄纬圈角度 ($^\circ$);

R ——变量 (km)。

事实上，随着物体的不同，物体所处地区的地球半径不同，以及物体所处地区的黄纬不同， F_z 的大小很不一样。所以，具有实际应用意义的 F_z 公式应为

$$F_i = \frac{1}{4} m_i R_i \omega^2 \sin^2 2\alpha \quad (1-40)$$

式中： i 代表不同的球面质点（如板块）。

这样，很容易理解作用力 F_z 与黄纬 α 的关系（如图 1-4）：

F_z 的最大值为黄纬 45° ，也就是说， F_z 以黄纬 45° 为最强，以最强线作图，则 F_z 最强线在地球上的分布如图 1-5。

由于地球是倾斜的，并且绕轴自转，所以，黄纬的一条线映射到地球上是一条带， F_z 最强线在地球上对应着中纬度带（在以后的章节里将有更详尽的说明），因此称 F_z 为强中纬力。

1. 强中纬力定义

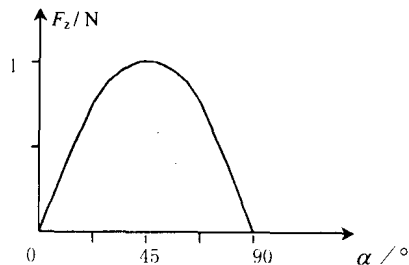


图 1-4 F_z 大小随地球黄纬变化关系

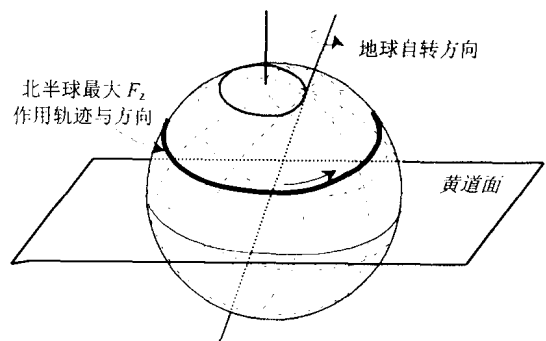


图 1-5 北半球最大 F_z 作用线示意

在地球绕太阳公转过程中产生的，作用于地球的球面质点的一种作用力，这种作用力使地球上属于黄纬 45° 线上的物质受到作用而发生由西向东的运动，由于地球的自转，地球上南北半球中纬度带内的物质将依次穿越黄纬 45° 线，从而依次受到该力的作用。将这种作用力称为强中纬力。

2. 强中纬力特性

强中纬力只与物体所在黄纬度有关，而与黄经度无关。

强中纬力是关于正弦函数倍角的二次函数，其最大值在 $\alpha = 45^\circ$ 处。

强中纬力导致的物体运动方向为切线方向。

3. 分布地域

除黄道面切割线对应的地域和黄极点强中纬力等于零外，地球的其他地域都有强中纬力的作用，只是各地各时刻受力大小不同。

4. 适用范围

适用于大气、水圈、地壳、油气、地幔的研究。对其他行星球面质点也可适用。

5. 表达式

见式 (1-40) 或式 (1-41)。

二、潮汐力

由 (1-33) 式可知，作用力 F_1 , F_2 所表现出的共有特性使两者可以合二为一，其作用力大小与 α , β 的变化关系可由图 1-6, 图 1-7 表示，而作用力在地球上的分布情况则可用图 1-8, 图 1-9 表示。

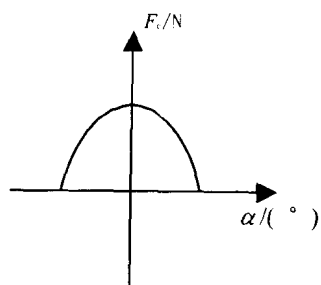


图 1-6 F_c 与 α 的变化关系

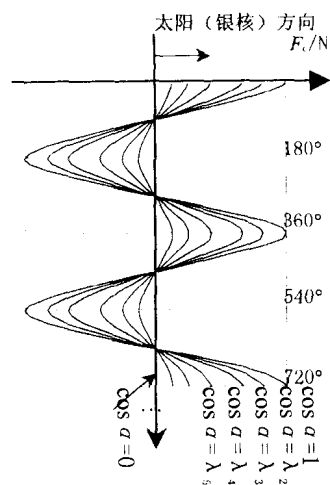


图 1-7 F_c 与 β 的变化关系

综上初步分析，考虑地球的自转特性，将 $F_1 + F_2$ 定义为潮汐力，用 F_c 表示。

1. 潮汐力定义

由地球绕太阳公转产生的，与地球到太阳的极径随时间二阶导、地球上不同黄纬及黄经的余弦乘积、地球上受作用物质质量的共同作用相关的作用力，称之为地球受到椭圆轨道焦点（太阳、银核）作用的潮汐力。

在以后的章节里，还将就潮汐力进行详细论述，并比较此前人们已经习惯称为“引潮

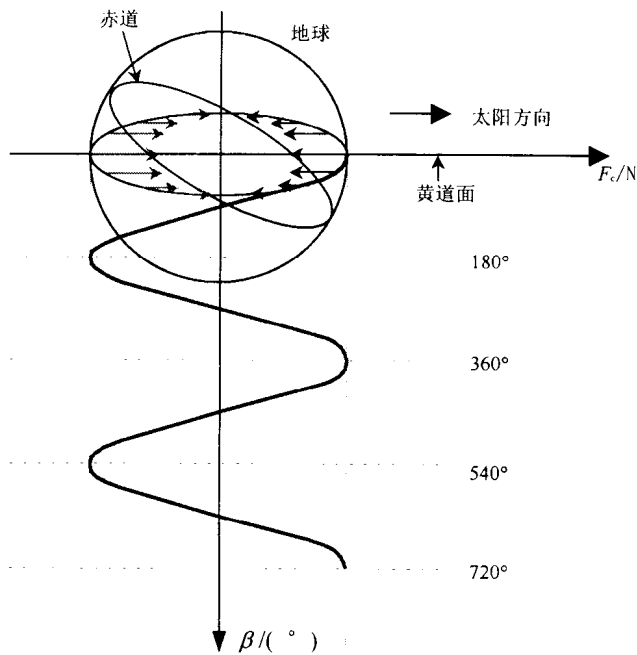


图 1-8 地球受 F_c 作用分析

力”的相关问题。

2. 潮汐力特性

由于“正”潮汐力表示其方向由太阳指向地球，“负”潮汐力表示其方向由地球指向太阳，“正”值发生在“ $90^\circ \sim -90^\circ$ ”区域即地球的早晨到傍晚的时间内，“负”值发生在“ $90^\circ \sim 270^\circ$ ”区域即地球的傍晚到次日早晨的时间内，所以，无论潮汐力为“正”或“负”，都表示潮汐力的方向由地球的表面指向地心（参见图 1-9）。

图 1-4 显示，潮汐力在黄道面上作用力最大，向两黄极逐渐减小直至为零。图 1-7 显示，随着地球上球面质点所处位置的黄经、黄纬的变化，潮汐力表现为一系列的作用力曲线。而图 1-4 则显示了其中最大一条作用力曲线的变化情况，表明了潮汐力的作用方向及随黄经变化的结果——中午和午夜最大，傍晚和早晨最小。

3. 分布地域

全球范围。

4. 适用范围

适用于大气、海水、地下水、油气、地幔等研究。

5. 表达式

$$F_c = 2m \cos \alpha \cos \beta \ddot{l} \quad (1-41)$$

式中 $F_c = F_1 + F_2$ (N);

m ——物体质量 (kg);

α ——黄纬 ($^\circ$);

β ——黄经 ($^\circ$);

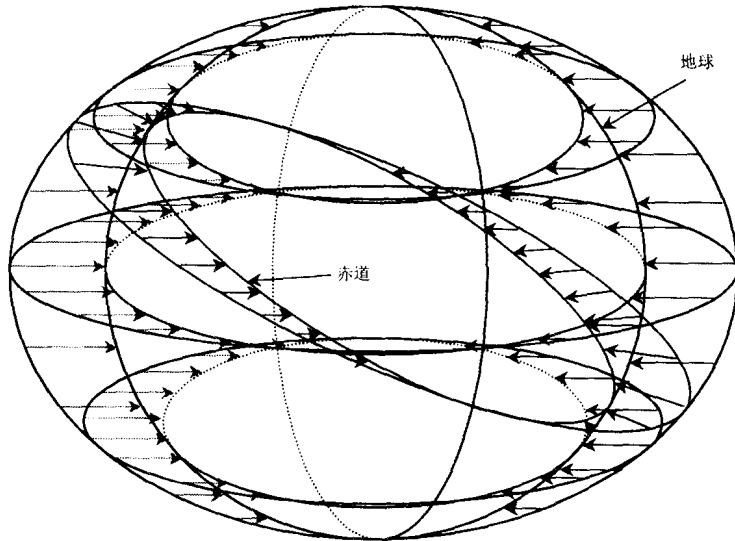


图 1-9 F_c 对地球的施力原理

\ddot{l} ——极径变化加速度 (m/s^2)^①。

三、其他作用力

在前面的分析推理过程中，还曾经涉及 F_4 ， F_r ， F_o 等，现初步分析如下。

1. 关于 F_4

由 (1-36) 式进一步化简，可得

$$F_4 \approx \frac{ml^2}{R} \left(\frac{d\theta}{dt} \right)^2 \quad (1-42)$$

式中各符号意义同前。

显然， F_4 表现出的是向心力特征。它是一个球面质点的瞬时速度与地球自转轴紧密相关的作用力，其运行轨迹的曲率半径为 R ，其所向之心为地球自转轴心。

所有自转轴心上的点的速度因“ $d\theta/dt$ ”为零而等于零。

当 R 一定后，该作用力的最大点应该在黄道面上。而与地球自转产生的球面质点的向心力不同之处在于速度上，后者为地球自转瞬时速度。

F_4 是球面质点在公转过程中产生的一种向地心的力，这令笔者感到有些奇怪，为什么会有这种力？它的地球效应是什么？当我们把注意力集中在研究公转状态下球面质点的潮汐力、强中纬力的时候，目前尚无暇顾及对它的研究。

2. 关于 F_r

F_r 是笔者在数理推导过程中，为使算式简便而构成的一种作用力合力，它没有实际意义。

3. 关于 F_o

F_o 是一种综合力，由推理所设条件分析，它是反映球面质点在地球公转过程中，受

① l 为极径，单位为 m 。

地球膨胀与收缩变化（地球半径的改变）相关的作用力。

目前对于该力的研究还不深入，因而其地球响应特征是否与后面章节里将要详细研究的地球的胀缩力相同是值得考虑的。由于两者（ F_0 与地球的胀缩力）的分析体系不同，目前尚不能轻易下结论。

在文献 [3] 中，曾经认为 F_0 是地球球面质点所受地球的万有引力，现在看来这一提法有些为时过早。将当时的观点转载如下（供参考）。

由 (1-7) 式所设条件，作用力 F_0 的大小等于质点 P 所受地球的万有引力，即：

$$F_0 = m \frac{d^2 R}{dt^2} = G \frac{mM}{R^2}$$

所以：

$$\begin{aligned} F_0 &= \frac{1}{2} G \frac{mM}{l^2(1 - \cos\theta)} \\ &= \frac{G}{2l^2(1 - \cos\theta)} \iiint \rho_1 \rho_2 dV dV \end{aligned}$$

式中： G 为万有引力常数； ρ_1 为球面质点密度； ρ_2 为地球密度。

作用力 F_0 的方向为地球球心到球面质点 P 的方向。

第五节 球面质点受力分布

综合以上分析，现将球面质点在随地球绕太阳公转过程中所受各力的分布用图 1-10 示意如下。

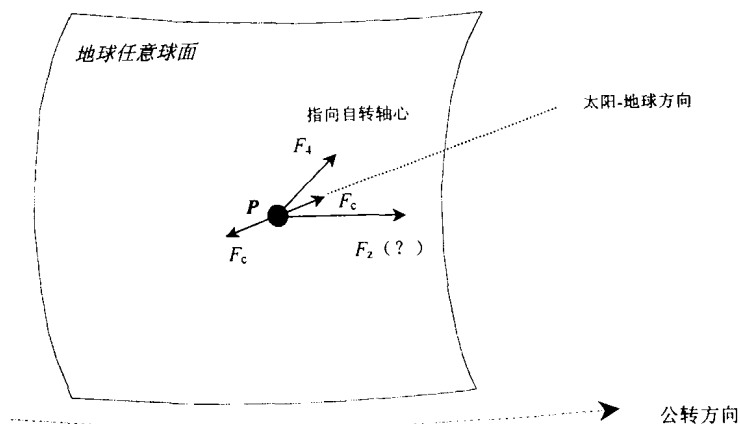


图 1-10 球面质点在随地球绕太阳公转过程中受力分布图

参 考 文 献

- [1] 刘全稳, 陈景山, 沈守文. 大气海洋油气质点受力分析 [J]. 成都理工学院学报, 2000, 27 (3): 268~275.
- [2] 刘全稳, 陈景山, 沈守文. 海流的形成演化与作用力定义 [J]. 成都理工学院学报, 2000, 27 (4): 352~358.
- [3] 弗伦奇 A. P. 牛顿力学 (1、2、3). 郭敦仁、何成钧译. 北京: 人民教育出版社, 1982.
- [4] Gill A. E. Atmosphere-Ocean Dynamics [M]. Academic Press, 1982.
- [5] Wyrski K. and Meyers G. (1976). The trade wind field over the Pacific Ocean. J. Appl. Meteorol. 15, 698~704.

第二章 地球的强中纬力

地球的强中纬力是影响地球范围最广的作用力，因而是最重要的作用力之一。它不仅是形成大洋环流的重要作用力，而且也是形成大气环流的重要作用力。它能使地球中纬度地带的（ $21^{\circ}33' \sim 68^{\circ}27'$ ）物质产生离心运动。夏季来临后，强中纬力的作用主要使低纬度带物质向高纬度带运动；而冬季来临后则正好相反。当台风进入中纬度带后，将明显受到最大强中纬力的作用，并最终保持沿最大强中纬力作用方向运动。强中纬力还对极地带等地带内的物质发生一定的作用。

根据地球在太阳系中的运动状态，获得了控制地球中纬度地带质点运动的作用力（强中纬力）方程，其表达式为^[1~3]

$$F_z = \frac{1}{4} m R \omega^2 \sin^2 2\alpha \quad (2-1)$$

式中 F_z ——强中纬力 (N)；
 m ——质点质量 (kg)；
 R ——变量 (km)；
 ω ——地球公转角速度 (1/s)；
 α ——黄纬 ($^{\circ}$)。

第一节 地球的受力作用分带

据第一章，容易将地球按照球面质点的受力方式进行分带。其分带情况如图 2-1。各带的分区及依据见表 2-1。

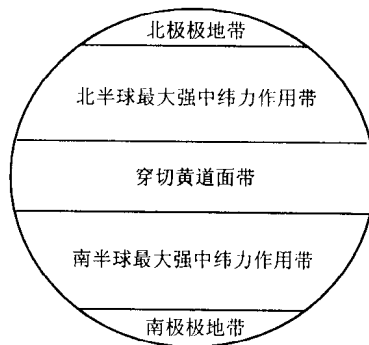


图 2-1 球面质点受力分区

表 2-1 中“范围”栏内数据获得依据参见图 2-2、图 2-3。

一、两极极地带

位于南、北极区，分布范围在南、北纬 $66^{\circ}33'$ 至南、北纬 90° 。显然，两极极地带分

表 2-1 地球按球面质点的受力分带及其划分依据

带 名	范 围	作用力依据	说 明
北极极地带	北纬: $66^{\circ}33' \sim 90^{\circ}$	无特别作用力	该分带主要依据强中纬力作用的明显程度加以划分。分带具有明显的对称性, 对称面为黄道面。带与带之间具有重叠性, 使各带之间的物质运动相互连贯。
北半球最大强中纬力作用带	北纬: $21^{\circ}33' \sim 68^{\circ}27'$	强中纬力作用明显	
穿切黄道面带	南纬 $23^{\circ}27'$ ~ 北纬 $23^{\circ}27'$	强中纬力作用不明显	
南半球最大强中纬力作用带	南纬: $21^{\circ}33' \sim 68^{\circ}27'$	强中纬力作用明显	
南极极地带	南纬: $66^{\circ}33' \sim 90^{\circ}$	无特别作用力	

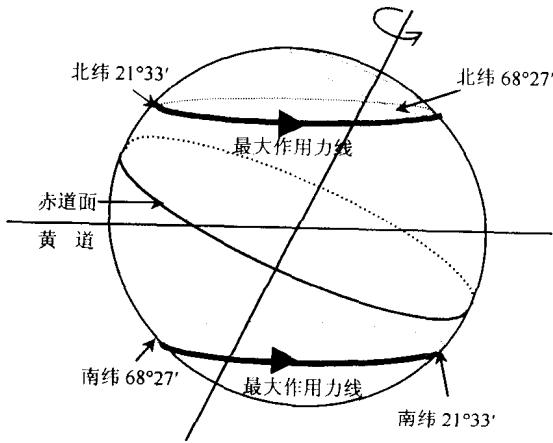


图 2-2 球面质点受力 F_z 作用最大线分布

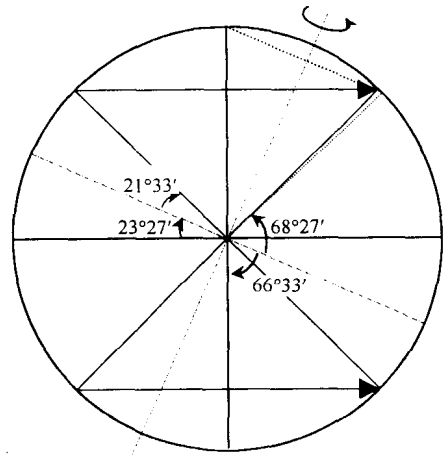


图 2-3 球面质点受力分带依据图

法符合地理分法, 这样, 最大强中纬力作用线可以延伸到两极极地带内。如果以最大强中纬力作用线所涉及到的 $68^{\circ}27'$ 作为依据, 则两极极地带的提法容易引起混淆。所以, 以最大强中纬力作用线为主, 划分出地球的最大强中纬力作用带, 再叠合以地球的倾斜角划分出的地球的低纬和高纬带, 使得地球的受力分带出现了小部分重合。该带与最大强中纬力作用带的重合区域为 $66^{\circ}33' \sim 68^{\circ}27'$, 也许正是因为有这一重合区域, 才有了强中纬力作用下的带与带的物质交换。

在此带内, 强中纬力作用不明显, 但强中纬力的非最大作用将使北半球强中纬力作用带物质与本带物质发生交融。

二、南、北半球最大强中纬力作用带

分布范围在南、北纬 $21^{\circ}33'$ 至南、北纬 $68^{\circ}27'$ 。

在此带内, 强中纬力作用明显。由于本带与穿切黄道面带有 $1^{\circ}55'$ 的重叠区域, 所以, 穿切黄道面带内的物质在重叠区内进入最大强中纬力的作用范围而使物质进行大范围内的交换。

北半球最大强中纬力作用系统是由一系列的同样的圆按照一定规律组成的, 其大

包络圈形成的圆所在纬度为北纬 $21^{\circ}33'$ ，小包络圈纬度为北纬 $68^{\circ}27'$ (参阅图 2-4)。这样，在任意一个地方，都有一对东北向力和东南向力存在。南半球最大强中纬力作用系统与北半球最大强中纬力作用系统相对应。

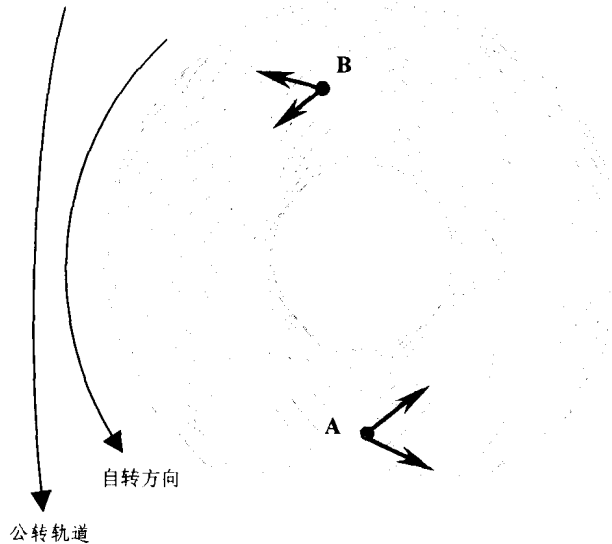


图 2-4 强中纬力作用系统图

东北向力为最大强中纬力在由北纬 $21^{\circ}33'$ 向北纬 $68^{\circ}27'$ 或者由南纬 $68^{\circ}27'$ 向南纬 $21^{\circ}33'$ 作用时的作用力，东南向力则为最大强中纬力在由北纬 $68^{\circ}27'$ 向北纬 $21^{\circ}33'$ 或者由南纬 $21^{\circ}33'$ 向南纬 $68^{\circ}27'$ 作用时的作用力，两者构成一个循环的整体，属于同一个力在不同时间的作用。任一地方只要具备流速小于地球自转速度，则该地就具有一对不同时间的最大强中纬力作用。

三、穿切黄道面带

位于赤道两侧，分布范围在南纬 $23^{\circ}27'$ 至北纬 $23^{\circ}27'$ 。

在地球作绕太阳运行的过程中，该带持续地作着穿切黄道面的运动。在此带内，强中纬力作用不显著。

由于本带与南北半球最大强中纬力作用带各有 $1^{\circ}55'$ 的重叠区域，所以，在地球的运行中，本带就像传送带一样，将本位于黄道面上下的南、北半球物质进行交换。

第二节 强中纬力的一般特点

地球公转所产生的强中纬力是地球的一种重要的原动力，除地球上的黄极投影点和黄道面切割处强中纬力等于零外，地球的其他部分均存在大于零的强中纬力作用，作用力的大小与黄纬呈正弦倍角平方关系。不同大小的强中纬力作用线相互与黄道面平行，作用力方向由西向东。

地球的中纬度带是一个充满活力的地带，不仅该带内大气、海水的运动变化显示着一定的规律性，而且其地面、地下的一般构造形态也显示出了一定的规律性。

一、强中纬力的影响因素

1. 物体的质量 (m)

物体的质量可以是大气，也可以是海水、油气、板块的等。

$$m = \int \rho dV$$

式中 ρ ——物体密度 (kg/m^3)；

dV —为物体微元体积 (m^3)。

物体的质量是一个变量，不同质量大小的物体具有不同大小的强中纬力，两者成正比例关系。以海水为例，北半球印度洋海水和北半球太平洋海水比较，显然两者质量相差较大，因而两处海水受到的强中纬力大小相差较大。其他依此类推。

2. 地球的半径 (R)

在“初论地质气候与地球胀缩”^[4]中（在后面的章节里，将详细介绍地球的胀缩力），已经论述了在椭圆轨道运行中，地球的体积是呈周期性变化的，也就是说，地球的半径是周期性变化的。

在地球公转过程中，地球半径的周期性变化，导致强中纬力变化的情况尚待研究。可以定性说明的是，地球的大气层高度变化可能要比水圈厚度变化和岩石圈厚度变化大。这些变化导致的强中纬力变化有两层含义，一是地球绕太阳一周的变化，一是地球绕银核一周的变化。

这里，只需知道在地球的运行过程中，其半径是变化的，半径的变化要导致强中纬力大小的变化，两者成正比例关系，地球半径的变化呈周期性。

3. 地球公转角速度 (ω)

顺便说一句，强中纬力表达式（式（2—1））可以适用分析以银河系为参照系的地球上物体的受力变化（这一点将在以后的章节中论述）。当此情形时，式中的 ω 为地球绕银核运转的角速度。

地球公转角速度的变化与强中纬力的变化成正比例关系。一般情况下，视 ω 为常量。

4. 物体所处地球的黄纬圈 (α)

由式（2—1）可见，地球的强中纬力与物体所处黄纬圈成正弦倍角二次方关系。当物体的质量、地球半径、公转角速度一定时，地球的强中纬力大小完全受物体所处的黄纬圈控制。黄纬圈等于 0° 或 90° 时，所反映出的强中纬力也等于 0，分别表现在地球上穿切黄道面带某地某时或地球上的黄极投影点无强中纬力作用。黄纬圈等于 45° 所反映出的强中纬力等于 1 为最大值，表现在地球上南半球和北半球 $21^\circ 33' \sim 68^\circ 27'$ 的地带内某些地某些时受到了最大强中纬力的作用。

鉴于黄纬圈是一条线，考虑地球自转轴倾斜，地球上处于最大强中纬力作用范围内的不同地点的物体，一天之中尽管都在强中纬力的作用下，而受到最大强中纬力作用的却只有两次。

二、强中纬力的物理意义

1. 方向

由于强中纬力属于地球公转产生的，所以强中纬力的方向为公转轨迹切线的正方向，因为地球是自西向东自转的，故强中纬力的方向在地球上表现为自西向东的方向。

2. 大小

当地球上球面质点位置一定，影响强中纬力的因素表现为以物体所处地球的黄纬圈为主。所以强中纬力的大小随着地球的黄纬圈的变化而变化（参见图 1-4）。

强中纬力的最大值在黄纬圈等于 45° 处，最小值在黄纬圈等于 0° 或 90° 处。

3. 地域

严格地讲，地球上任意一地点，都有强中纬力作用，如果让地球停止自转，地球上的强中纬力作用线表现为平行线，这些相互平行的作用力线大小不同，但变化有规律，其中存在两条最大值线，分别位于黄道面上下。

物体在强中纬力作用下发生运动变化，表现出显性和隐性。当强中纬力作用较小时，物体受粘滞或摩擦力作用将不发生移动，这时，强中纬力作用表现为隐性；当强中纬力作用较大时，物体发生位移变化，此时，强中纬力作用表现为显性。

强中纬力作用在地球上表现最明显的地带称之为最大强中纬力作用带。虽然强中纬力作用表现为隐性的地带称之为其他作用带，但并不是说该带内不存在强中纬力的作用。

4. 时间

人类在认识日出日落的过程中产生了时间的概念，便将绝大多数关系习惯于采用时间描述。

地球上强中纬力的变化与时间的变化具有紧密的联系，不同时间里，一个地点的物体受强中纬力的作用效果不同，这是因为地球自转使地球某地不断地做着切割不同大小的强中纬力作用线的缘故。

如果人们站在黄道面上观察，抛弃时间概念，则地球上只有相互平行的不同大小的强中纬力作用线。

第三节 强中纬力的表现特征

地球在强中纬力作用下，所表现出来的受力特征体现在不同的视角上。

一、俯视特征

选择北极上空俯视地球自转后留下的最大强中纬力作用线，是一簇圆（近似）（如图 2-4）。该图形的外包络圈的低纬度为 $21^\circ 33'$ ，内截圆圈的高纬度为 $68^\circ 27'$ 。

南半球的最大强中纬力作用线相同。

二、侧视特征

选择黄道面侧视地球的最大强中纬力作用线如图 1-5 所示。

若选择柱状投影展开方式，最大强中纬力作用线形成的网格如图 2-5 所示。

三、整体特征

地球在强中纬力作用下所表现出来的整体特征如图 2-6 所示。

图 2-6a 描绘了地球上强中纬力与黄纬圈分布的关系。

图 2-6b 描绘了地球上某点物体在不同时间里受强中纬力作用的情况（示意图）。

docsriver 文川网
入驻商家 古籍书城

在文川网搜索古籍书城 获取更多电子书

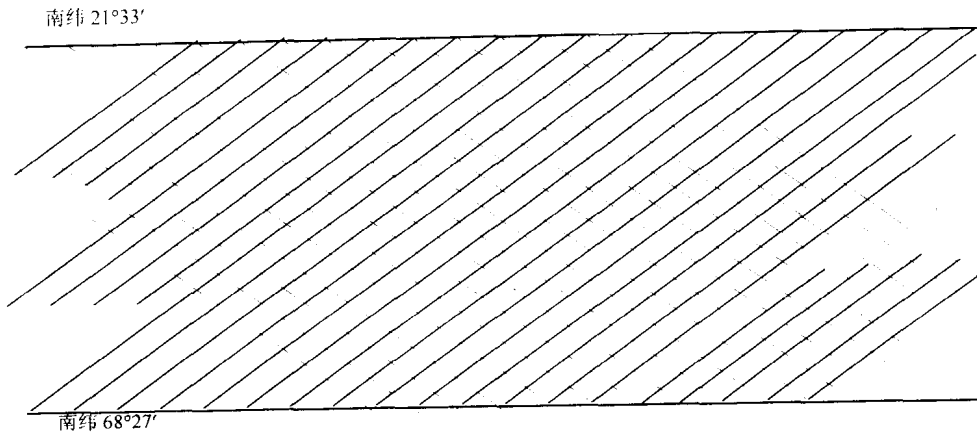


图 2-5 南半球 F_z 作用网格示意图

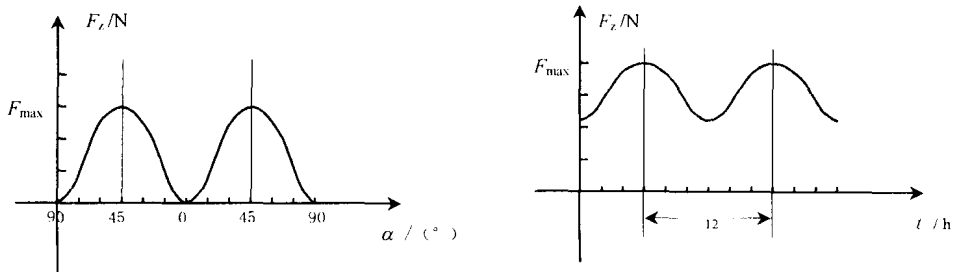


图 2-6 地球强中纬力关系图

第四节 强中纬力的作用效果

力是使物体运动状态改变的原因。强中纬力作用于大气，使大气产生了有规律的运动；强中纬力作用于海水，使海水形成环流；强中纬力作用于球面板块，使板块在各个分带内产生各种运动姿态。

一、作用于大气

如果说在最大强中纬力作用下海水的运动轨迹还要严重受到海岸、海岛及水下海山的影响而改变路线，使实际途径与理论轨迹间存在差异的话，那么，最大强中纬力作用于大气所产生的运行轨迹，虽然也要受到高山及高原的影响，但却能较好地符合理论轨迹。最大强中纬力的理论作用轨迹如图 2-7 所示。

图 2-7 描绘了大气质点在最大强中纬力作用下的理论运移轨迹（未分时间）似花瓣展开幅度大小不等的“荷花”。

大气质点在最大强中纬力作用下可以产生的几种主要云图模式，以及北半球台风在进入最大强中纬力作用带后的运行方向等，将在第五章里作详细介绍。

对 Mason (1971) 解释的自新西兰释放的气球在 12 km 上空运行了 102 天的轨迹图进行了最大强中纬力作用分析和重新连线，所得平流层气球在最大强中纬力作用下的理性轨

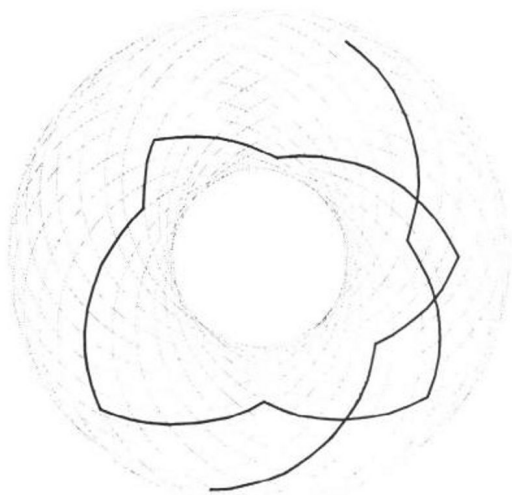


图 2-7 最大强中纬力作用的理论运移轨迹示意图

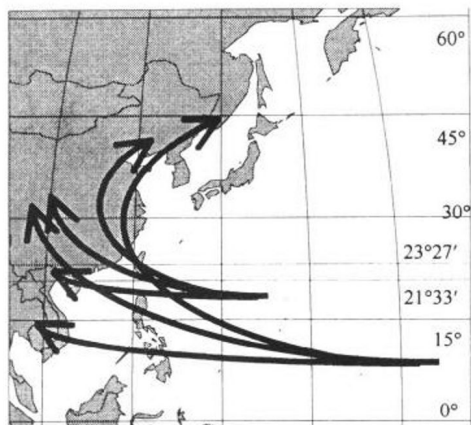


图 2-8 北半球热带气旋受力作用运行方向示意图

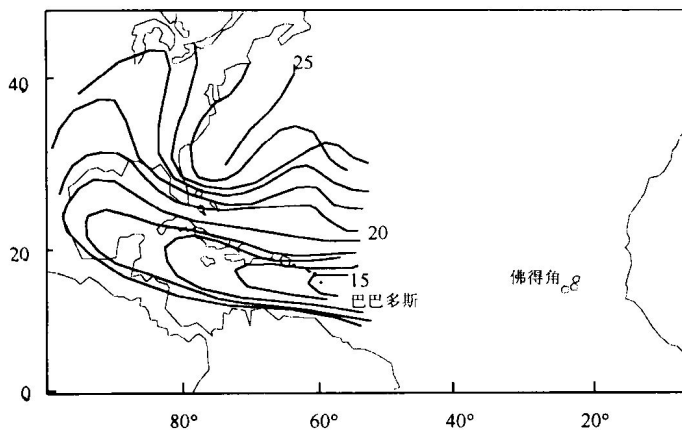


图 2-9 佛得角群岛内 1951 年 6 月 15 日至 26 日火山尘埃日推进距离等值线图
(据 D. W. Folger, 1970)

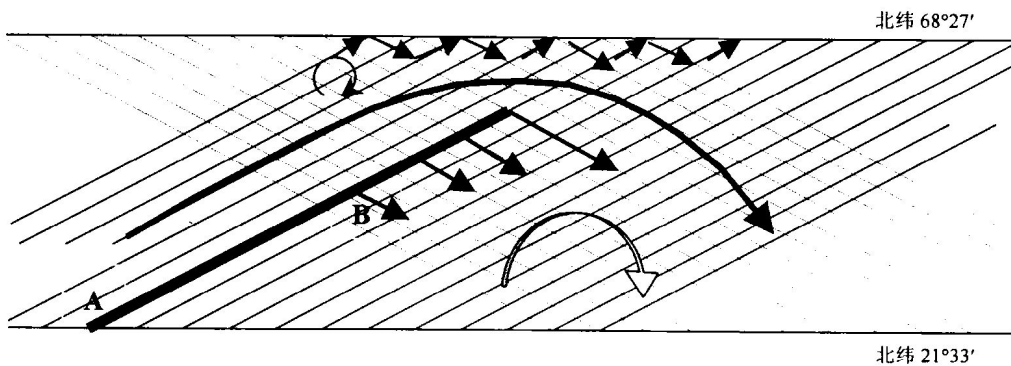


图 2-10 北半球海水受最大强中纬力作用的运行轨迹